

## II-249 K-εモデルの Buoyant Surface Jet への適用

京都大学大学院 学生員 松井健一  
京都大学工学部 正員 岩佐義朗  
広島大学工学部 正員 細田尚

1. 序論； 本研究は、K-εモデルをBuoyant Surface Jetに適用し、数値解析を行う。さらに、解析結果と実験結果とを比較することにより、K-εモデルの適用性を検討する。

2. Buoyant Surface Jet； Surface Jetにおいて、放出される流体と周囲の流体との間に密度差があるとき、Buoyant Surface Jetと呼ばれる。概念図をFig.1に示す。

従来、一次元解析法により放出口付近の噴流の特性を解析したKoh<sup>1)</sup>、玉井<sup>2)</sup>の研究があり、変動量の計測もChu・Vanvari<sup>3)</sup>、椿・小松<sup>4)</sup>によってなされている。本研究では、K-εモデルを用いて、鉛直二次元流れとしての解析を行い、領域全体の流れの特性について検討する。

解析法を述べる前に、解析の妥当性を検証する資料として、著者らが行った実験結果について述べる。

3. 実験の概要； 本実験は、京都大学工学部土木総合館地階水理実験室で行われた。実験装置をFig. 2に示した。実験は内部跳水が、おこらないように十分注意した。水理諸量をTable 1に示した。表層水温の減衰について示したのがFig. 3であり、内部Froude数が大きいほど水温の減衰も大きいが、流下距離が増大するにつれて、どちらも一定値に漸近している。同一の無次元化距離での水温の鉛直分布を示したのがFig. 4である。放出口付近では水温はどちらも直線分布を示すが、内部Froude数Fr\_dの小ささ、Exp. 1では、流下距離の増大とともに水温の成層化が見られる。

4. 解析モデル； Launderは、Reynolds応力、熱fluxの関係式に、Reynolds Stress Closureの近似を用いて次のような結果を示している。

$$\frac{\overline{U^2}}{k} = 0.94 + 0.41 \frac{R_f}{1-R_f} \quad (1) \quad \frac{\overline{U'^2}}{k} = 0.53 - 0.41 \frac{R_f}{1-R_f} \quad (2)$$

$$-\overline{U'U'} = \beta \frac{\overline{U^2} k}{\epsilon} \frac{\partial U}{\partial y} \quad (3) \quad -\overline{U'T'} = \gamma \frac{\overline{U^2} k}{\epsilon} \frac{\partial T}{\partial y} \quad (4)$$

$$\gamma = \phi \frac{1.59 - 5.22 R_f}{1.59 - 2.82 R_f} \quad (5) \quad \frac{\beta}{\gamma} = C_T = \frac{\phi}{\phi_T} \frac{1 + 0.8 \phi_T B - 0.5 \phi_T^2 B}{1 + \phi_T B} \quad (6)$$

ここに、 $U'$ ,  $V'$ ;  $\epsilon$ ,  $y$ 方向の乱れ速度,  $R_f$ ; flux Richardson数。また、 $\frac{T-T_a}{T_o-T_a}$ 。BはLaunderが導いたパラメータで、 $R_f$ と次のような関係がある。

$$B = \frac{1}{\phi_T} \frac{R_f (1.59 - 2.82 R_f)}{(1.59 - 5.22 R_f)(0.53 - 0.94 R_f)} \quad (7)$$

gradient Richardson数  $R_G$  は  $R_f$  と  $R_G = \epsilon / R_f$  の関係があるので、(6)式より、 $R_f$  と  $R_G$  が関係づけられ表示すれば、Fig. 5のようになる。図には、Mellor<sup>5)</sup>の研究をもとにしたYamada<sup>6)</sup>の関係式も示した。

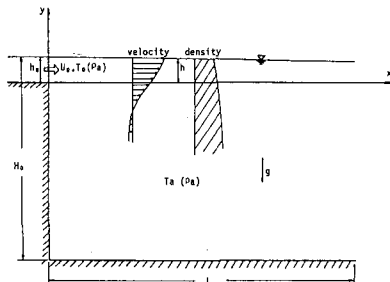


Fig.1 概念図

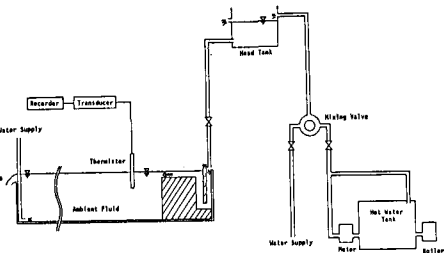


Fig.2 実験装置

	$h_0$ (cm)	$U_0$ (cm/s)	$T_a$ (deg)	$T_o$ (deg)	$\frac{\rho_a - \rho_b}{\rho_a}$	$Fr_d$	Re
Exp. 1	1.07	6.46	11.7	23.6	$2.16 \times 10^{-3}$	4.29	750
Exp. 2	0.74	15.36	11.8	28.3	$3.39 \times 10^{-3}$	10.07	1360

Table 1

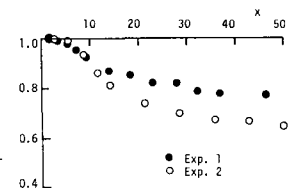


Fig. 3

上記の結果は、流速、水温のほかに、 $K$ 、 $\epsilon$ を含み、Gibson-Launder<sup>8)</sup>が行っているように、 $k-\epsilon$ モデルを連立して解析を行うことができる。

5. 解析法と結果の考察；基礎式は次のようになる。

$$\frac{\partial U}{\partial X} + \frac{\partial V}{\partial Y} = 0 \quad (8) \quad P = g \int_y^h \rho dy \quad (9)$$

$$\frac{\partial U}{\partial t} + U \frac{\partial U}{\partial X} + V \frac{\partial U}{\partial Y} = - \frac{1}{P_a} \frac{\partial P}{\partial X} + \frac{\partial}{\partial X} (D_{mg} \frac{\partial U}{\partial X}) + \frac{\partial}{\partial Y} (D_{mg} \frac{\partial U}{\partial Y}) \quad (10)$$

$$\frac{\partial T}{\partial t} + U \frac{\partial T}{\partial X} + V \frac{\partial T}{\partial Y} = \frac{\partial}{\partial X} (D_{Tg} \frac{\partial T}{\partial X}) + \frac{\partial}{\partial Y} (D_{Tg} \frac{\partial T}{\partial Y}) \quad (11)$$

$$\frac{\partial K}{\partial t} + U \frac{\partial K}{\partial X} + V \frac{\partial K}{\partial Y} = D_{mg} \left( \frac{\partial U}{\partial Y} \right)^2 (1 - R_f) - \epsilon + \frac{\partial}{\partial Y} \left( \frac{D_{mg}}{C_e} \frac{\partial K}{\partial Y} \right) \quad (12)$$

$$\frac{\partial \epsilon}{\partial t} + U \frac{\partial \epsilon}{\partial X} + V \frac{\partial \epsilon}{\partial Y} = C_{e1} \frac{\epsilon}{K} D_{mg} \left( \frac{\partial U}{\partial Y} \right)^2 - C_{e2} \frac{\epsilon^2}{K} + \frac{\partial}{\partial Y} \left( \frac{D_{mg}}{C_e} \frac{\partial \epsilon}{\partial Y} \right) \quad (13)$$

$$D_{mg} = \beta \frac{K^2}{\epsilon} (0.53 - 0.41 \frac{R_f}{1-R_f}), \quad D_{Tg} = \gamma \frac{K^2}{\epsilon} (0.53 - 0.41 \frac{R_f}{1-R_f})$$

解析法は、岩佐・松尾・俞が貯水池の解析に用いたexplicit法を用い、境界条件は、出口での流量を一定で、水深のこう配が $\partial h/\partial x = 0$ とし、下流端では、水位が一定で、水理量のこう配を、 $\partial U/\partial x, \partial T/\partial x, \partial K/\partial x, \partial \epsilon/\partial x = 0$ とした。数値解析の水理諸量は、Exp.1と同一とした。ただし、 $C_e, K_0$ については、 $Eh_0/U_0^3 = 1.33 \times 10^{-3}$ 、 $K_0/U_0^2 = 0.015$ とし、その他の定数は、Surface Jet<sup>9)</sup>の場合と同一とした。

表層水温の定常化過程をFig. 6に示した。若干の振動を示しながら定常状態に漸近しているのがわかる。次に定常状態での表層水温の減衰過程をFig. 7に示した。実験値と計算値はよく適合しているのがわかる。水温の鉛直分布の比較を

Fig. 8に示した。 $x/h_0$ が小さい領域では計算値と実験値はよく適合しているが、放出口から離れるにつれて、計算では実験にみられるような水温の成層化過程が表わされていない。

Fig. 9に、流速、乱れエネルギー、エネルギー散逸率の鉛直分布の例を示した。流速分布には弱い逆流が生じている。また、 $K$ 、 $\epsilon$ とともに、表層より少し下がったところで極大値を示すような分布形を示している。

参考文献 1) Koh; ASCE, HY, Vol. 97, 2) 玉井; 第13回水理講演会, 3) Chu·Vanvari; ASCE, HY, Vol. 102, 4) 横山, 小松; 土木学会論文報告集第273号, 5) Launder; J.F.M., Vol. 67, 6) Mellor; J.A.S. Vol. 30, 7) Yamada; J.A.S., Vol. 32, 8) Gibson, Launder; J.H.T., ASME, 98C  
9) 白畠, 岩佐, 細田; 土木学会第39回年次講演会

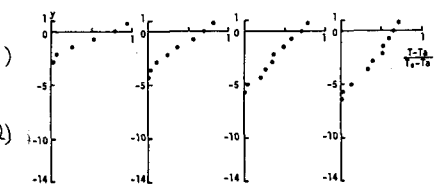
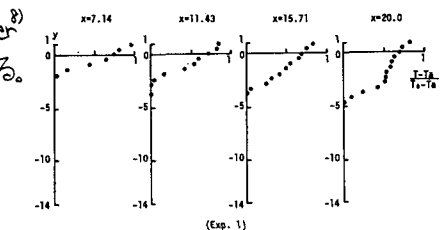


Fig. 4 水温分布

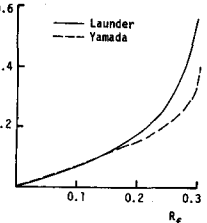


Fig. 5  $R_l$  と  $R_f$  の関係

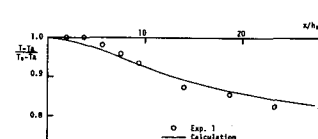


Fig. 6 定常化過程

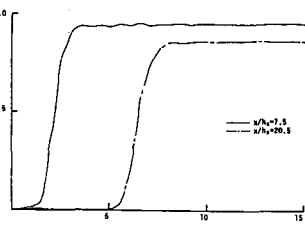


Fig. 7 表層水温の減衰

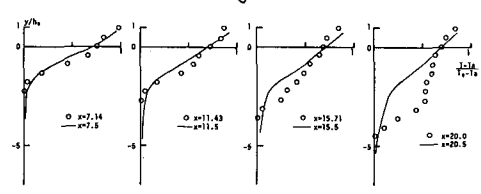


Fig. 8 水温の鉛直分布

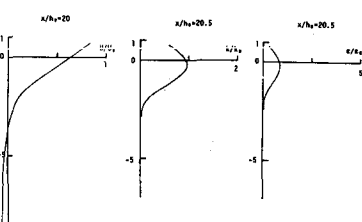


Fig. 9 水理量の鉛直分布